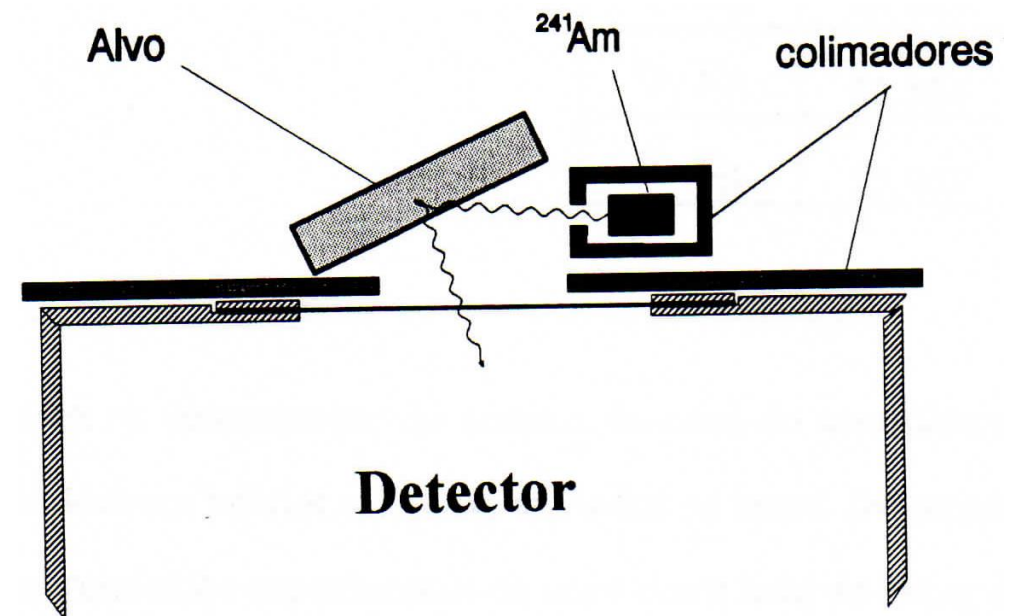
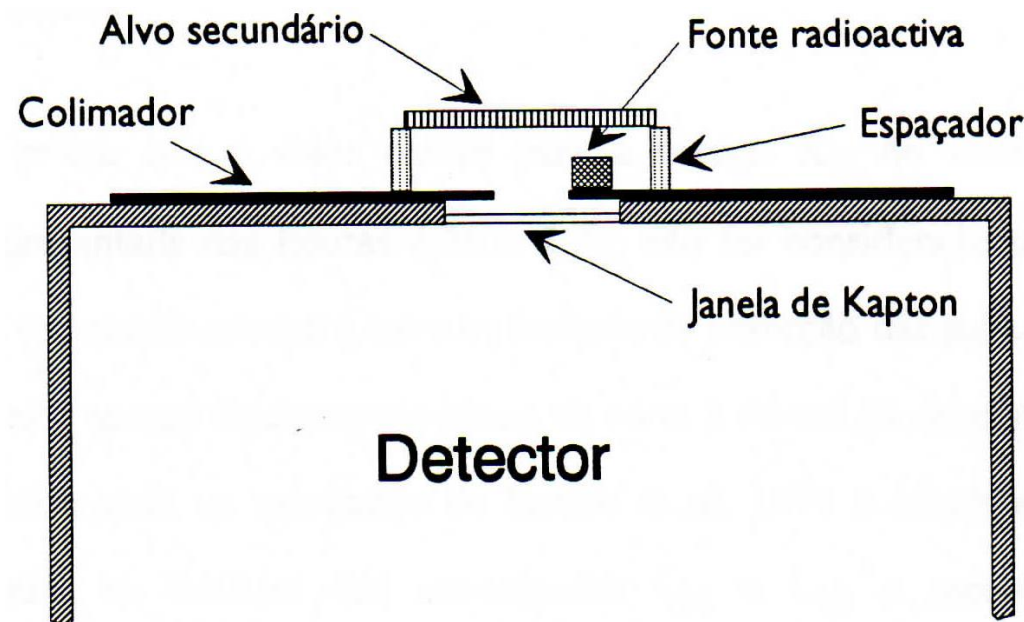


X-ray fluorescence spectrometry

Cristina M.B. Monteiro

Univ. Coimbra

Exciting source-target-detector geometries



X-ray energies

Elemento	Energia do raio X (keV)
Si K _{α,β}	1,74
S K _{α,β}	2,31
Cl K _{α,β}	2,62
K K _α	3,31
Ca K _α	3,69
Ti K _α	4,51

Elemento	Energia do raio X (keV)
Cr K _α	5,41
Mn K _α	5,89
Fe K _α	6,40
Ni K _α	7,47
Cu K _α	8,04
W L _α	8,40
Zn K _α	8,63
Pb L _α	10,55

Element line	X-ray energy (keV)
Cu K _α	8.041
Zn K _α	8.631
Cu K _β	8.904
Ga K _α	9.244
Zn K _β	9.571
Ge K _α	9.876
Ga K _β	10.263
As K _α	10.532
Ge K _β	10.981
Se K _α	11.210
As K _β	11.725
Br K _α	11.907
Se K _β	12.495
Br K _β	13.290
Rb K _α	13.375
Sr K _α	14.142

elemento	Energia do raio X
Nb K _α	16.584
Nb K _β	18.647
Cd K _α	23.109
Sn K _α	25.193
Cd K _β	26.143
I K _α	28.512
Sn K _β	28.601
Cs K _α	30.854
Ba K _α	32.065
La K _α	33.302

elemento	Energia do raio X
Cs K _β	35.149
Pr K _α	35.864
Ba K _β	36.553
Nb K _α	37.185
La K _β	37.986
Ce K _β	39.453
Sm K _α	39.914
Pr K _β	40.953
Nd K _β	42.484
Gd K _α	42.761
Sm K _β	45.649
Dy K _α	45.728
Er K _α	48.818

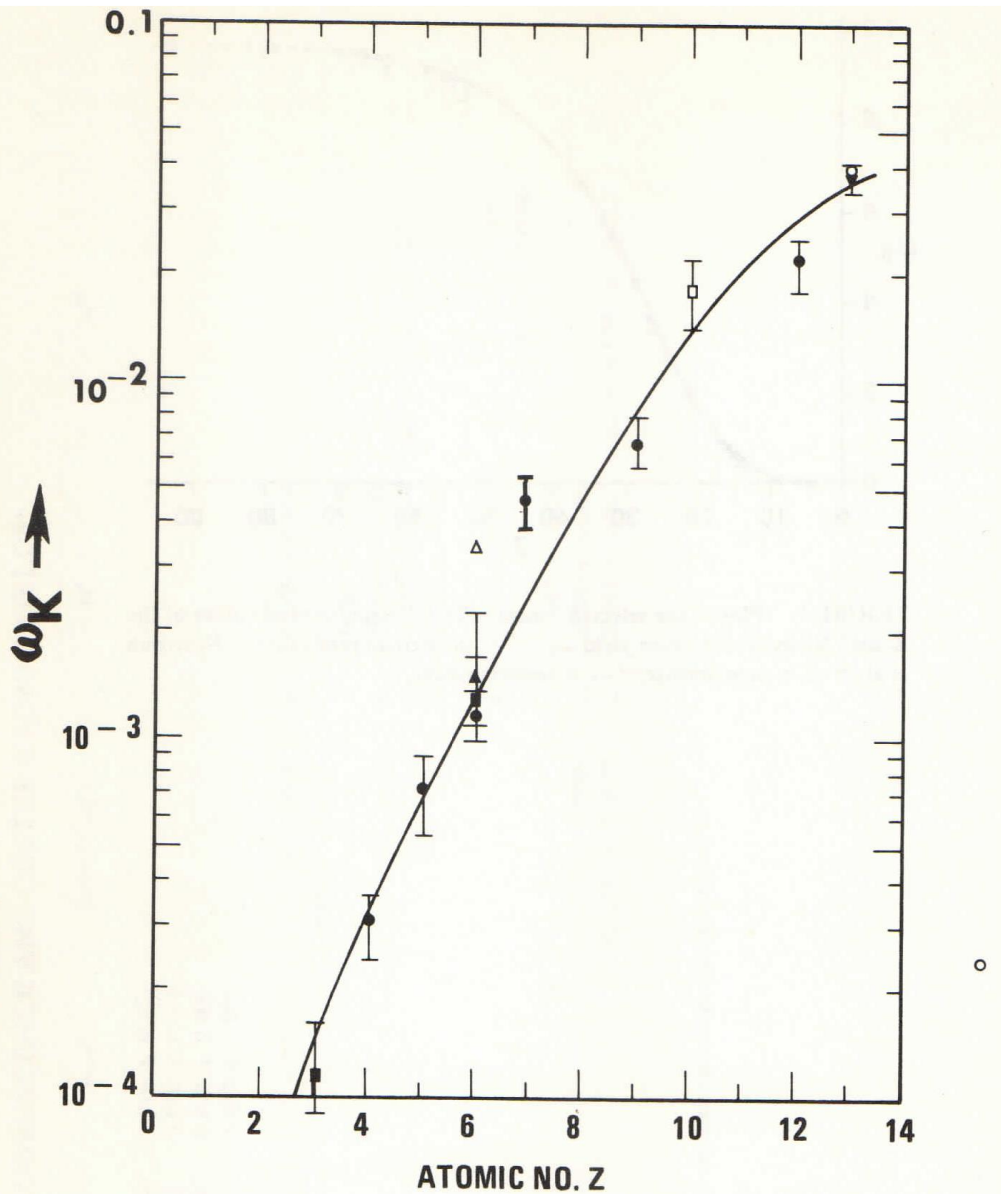


FIGURE 2. Semilog plot of low- Z K X-ray fluorescence yields based on Table 1. These yields must be used with care owing to possible large chemical and physical state effects (see discussion in the text).

X-ray fluorescence yield

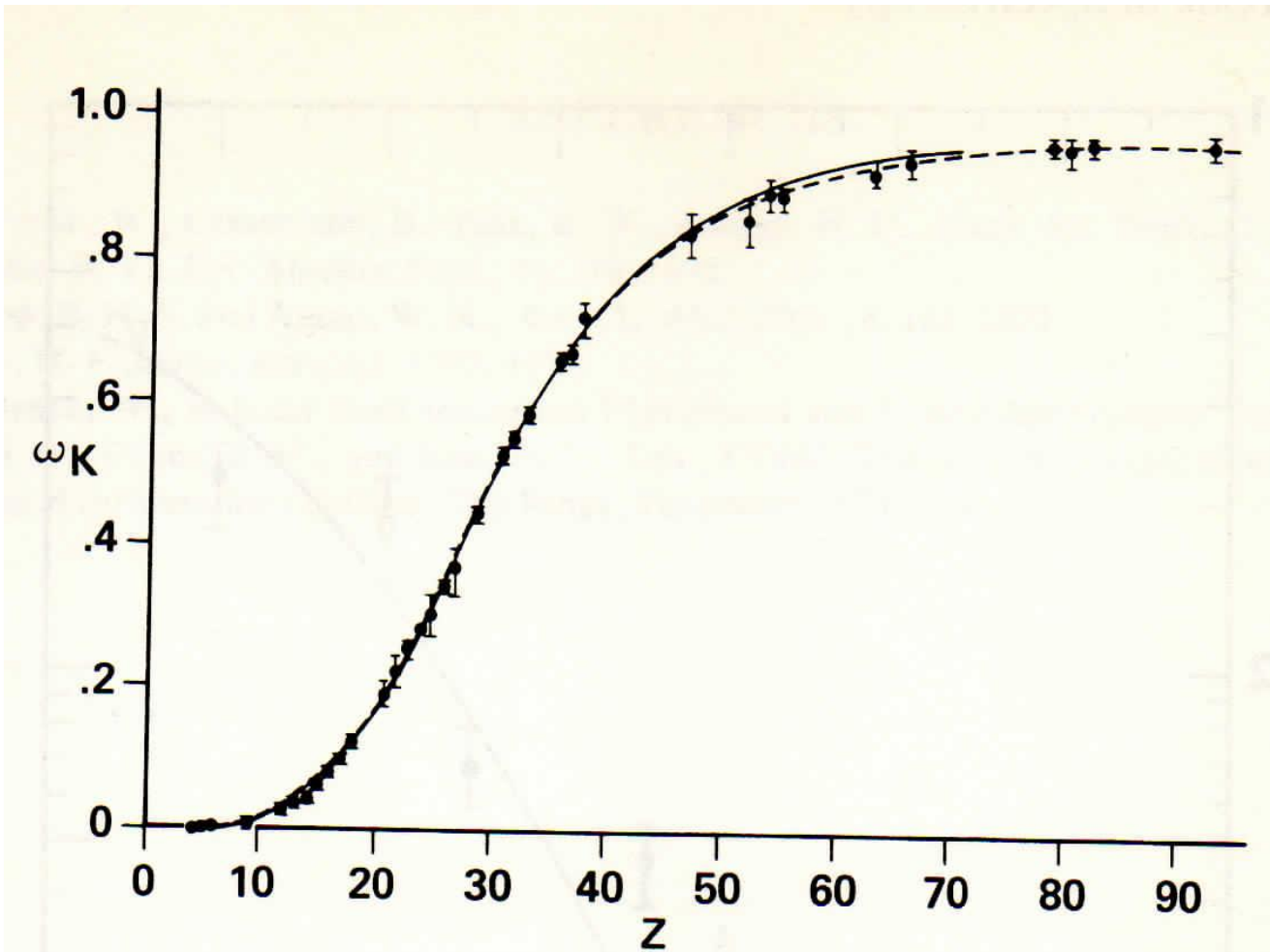


FIGURE 1. Plot of the selected “most reliable” experimental values of the K-shell X-ray fluorescence yield ω_K : — = theoretical prediction of Kostroun et al.,⁴⁶ ● = experiments;^{1,4} --- = semiempirical.¹

X-ray fluorescence spectra (in Xe)

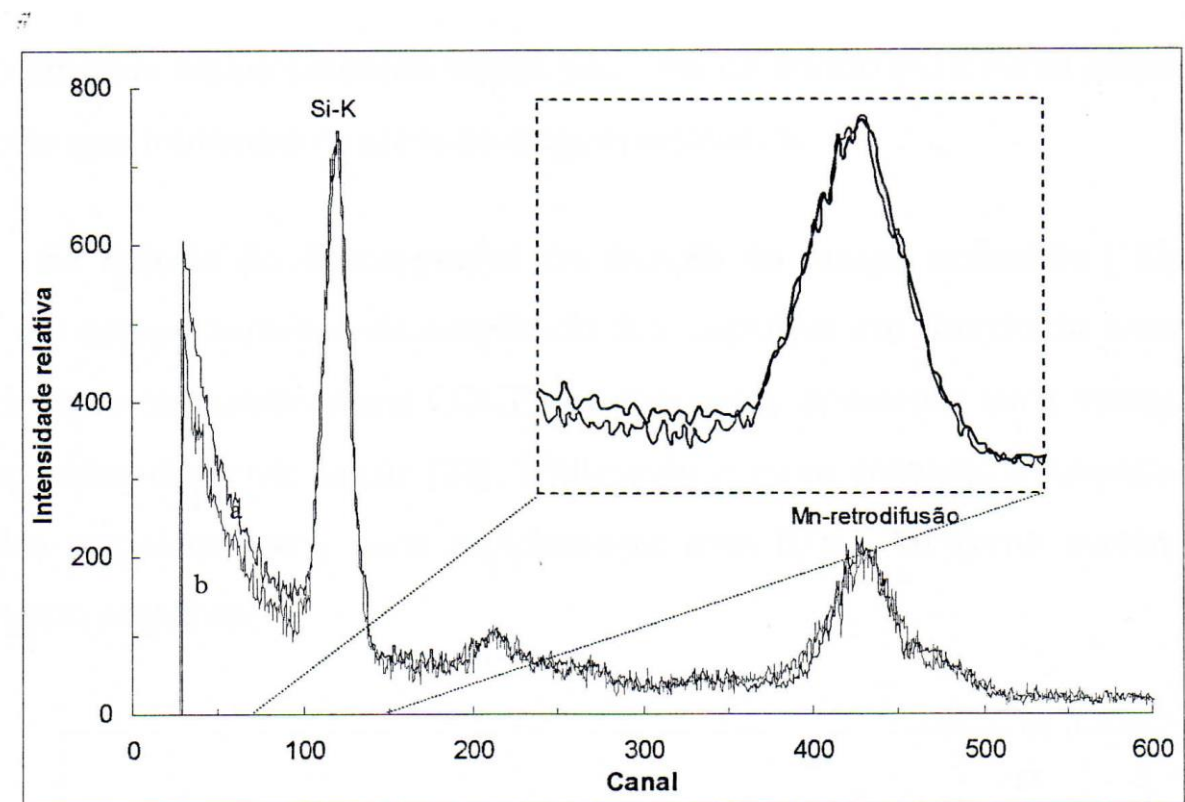
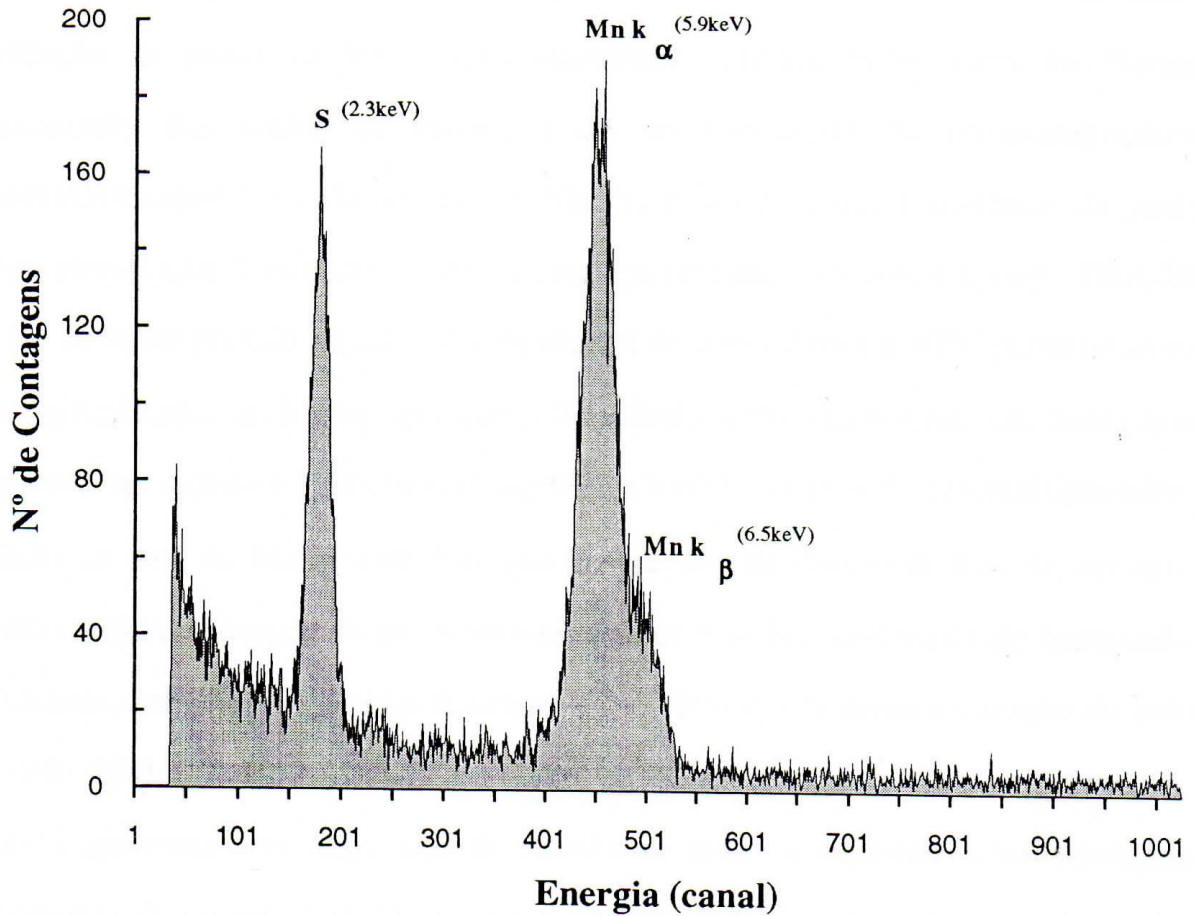


Figura 28: Distribuição de amplitudes obtidas do CGCP sem zona de deriva para a fluorescência do Si: a) usando constantes de formatação curtas sem mais correções; b) usando constantes de formatação longas sem mais correções

Fig.3.2-Espectro do enxofre obtido por fluorescência de raios X de uma fonte de ^{55}Fe (5,9 keV) e janela de 10 mm. O pico S corresponde às camadas K_{α} e K_{β} de enxofre enquanto que Mn $K_{\alpha,\beta}$ são picos devidos a alguns fotões da fonte de ferro terem sofrido uma difusão coerente.

Different Kapton thicknesses of radiation window (absorption)

X-ray fluorescence spectra (in Xe)

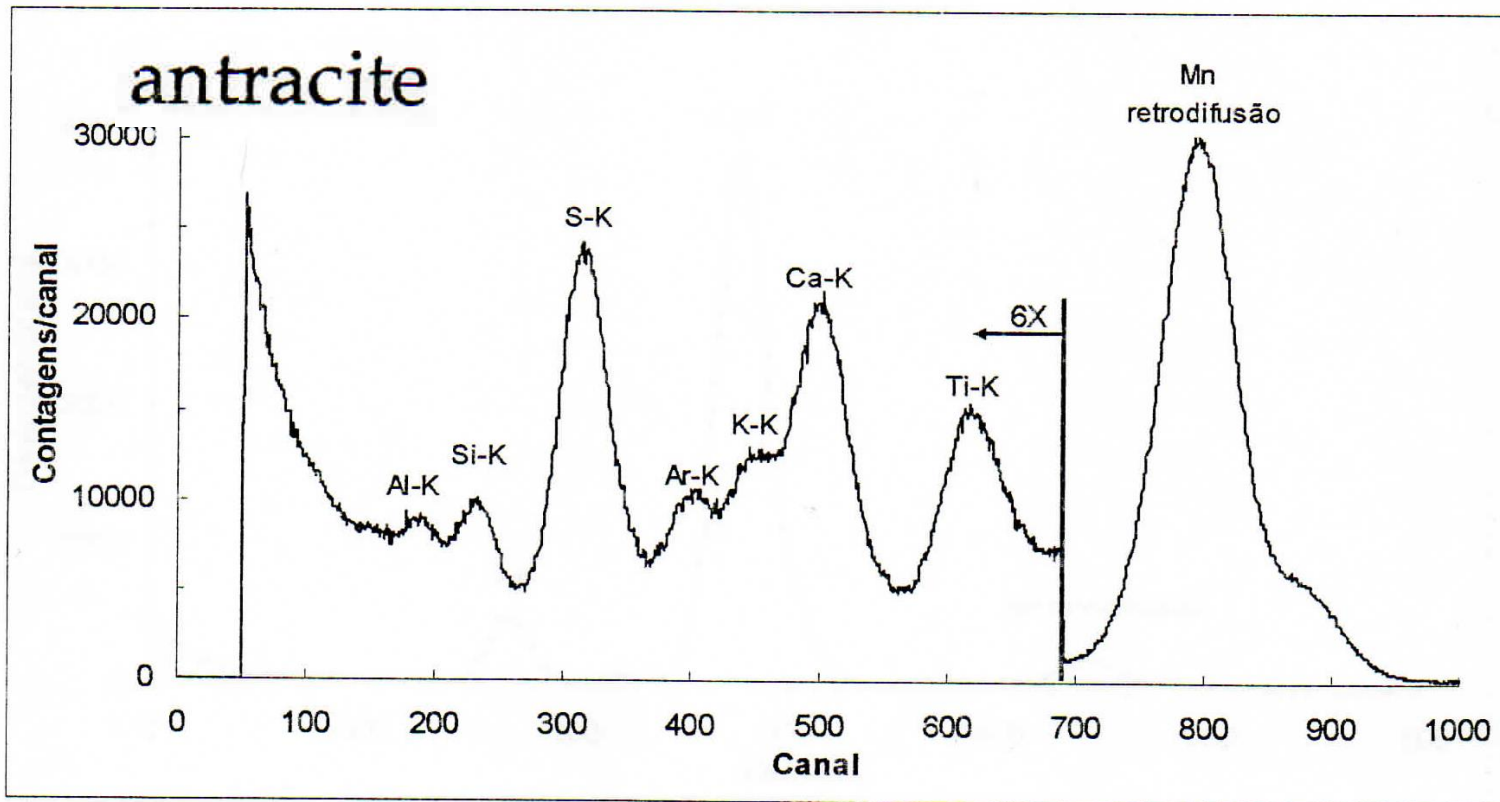


Figura 32: Espectro de fluorescência de uma amostra de antracite excitada com uma fonte de ^{55}Fe

(0.23% Na_2O , 0.11% MgO , 1.27% AlO_2 , 2.47% SiO_2 , 0.58% S, 0.11% K_2O ,
0.11% CaO , 0.06% TiO_2 , 0.25% Fe_2O_3)

X-ray fluorescence spectra (in Xe)

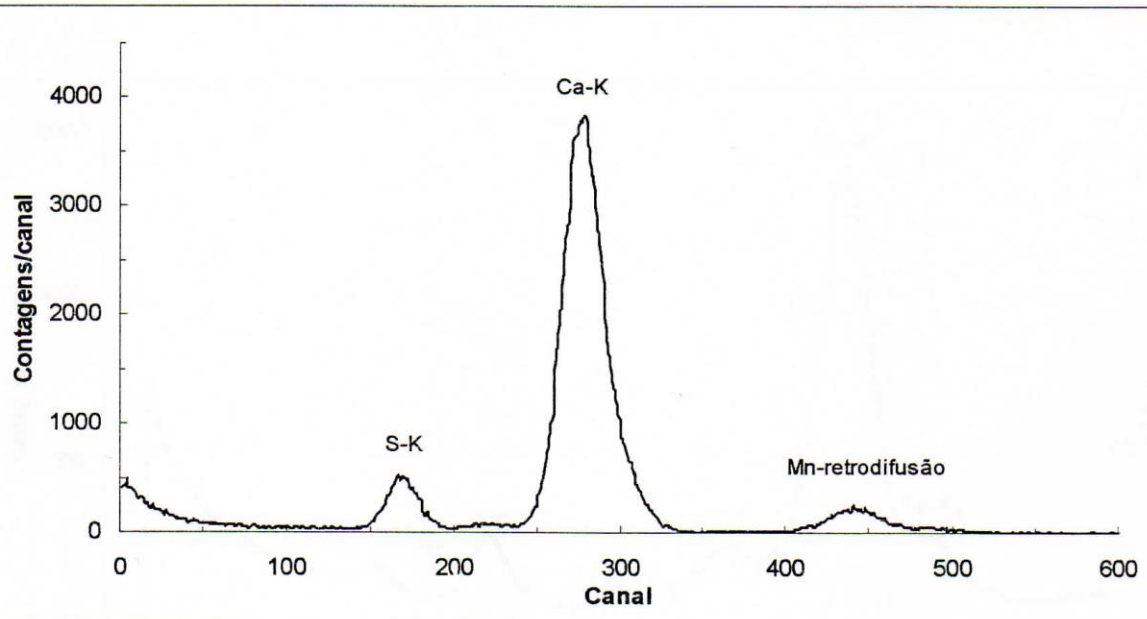


Figura 33: Espectro de fluorescência de uma amostra de gesso excitada com uma fonte de ^{55}Fe

gesso (CaSO_4)

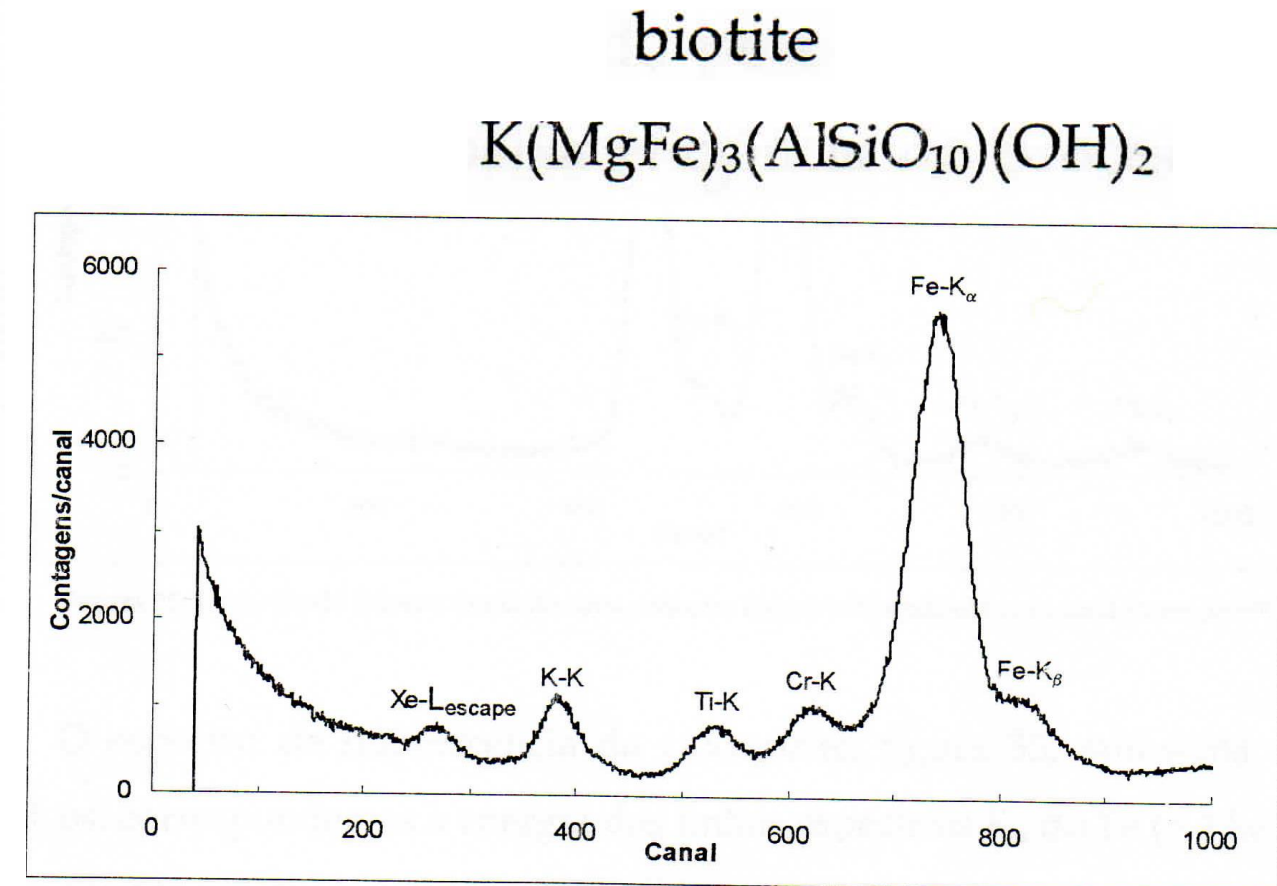


Figura 34: Espectro de fluorescência de uma amostra de biotite excitada com uma fonte de ^{109}Cd

X-ray fluorescence spectra (in Xe)

calcopirite (CuFeS₂)

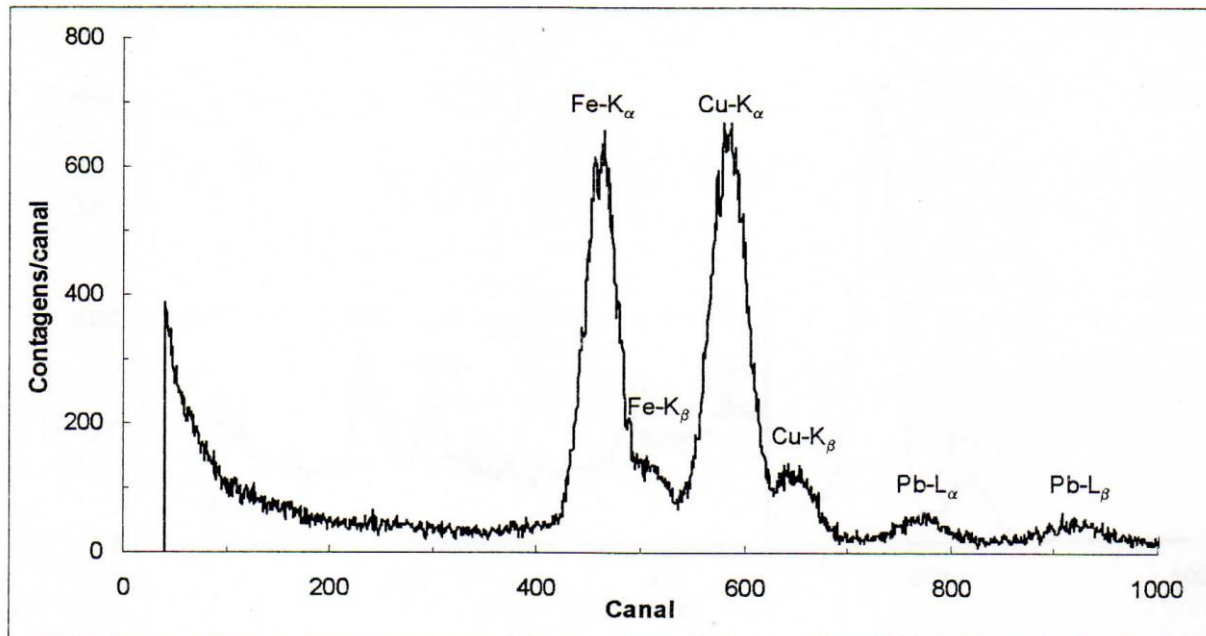


Figura 35: Espectro de fluorescência de uma amostra calcopirite excitada com uma fonte de ¹⁰⁹Cd

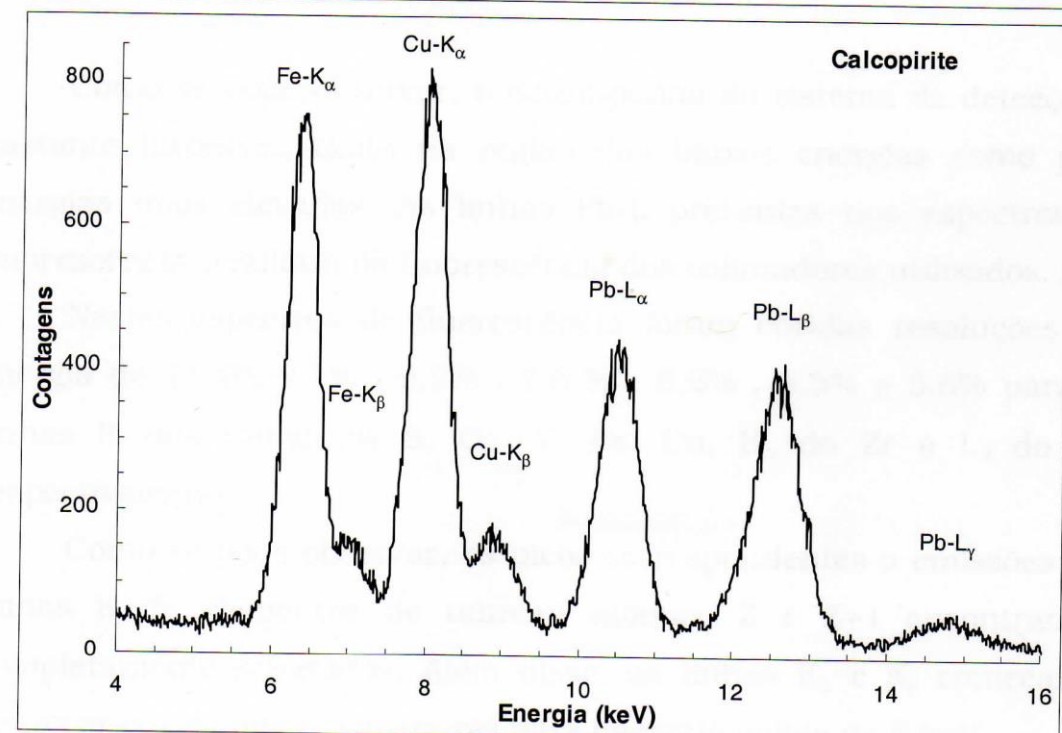


Figura 44: Espectros de fluorescência de uma amostra geológica de antracite excitada com uma fonte de ⁵⁵Fe e uma outra de calcopirite excita com ¹⁰⁹Cd.

Pb – collimators

X-ray fluorescence spectra (in Xe)

getters SAES St 707

(70% Zr, 5.4% Fe, 24% V)

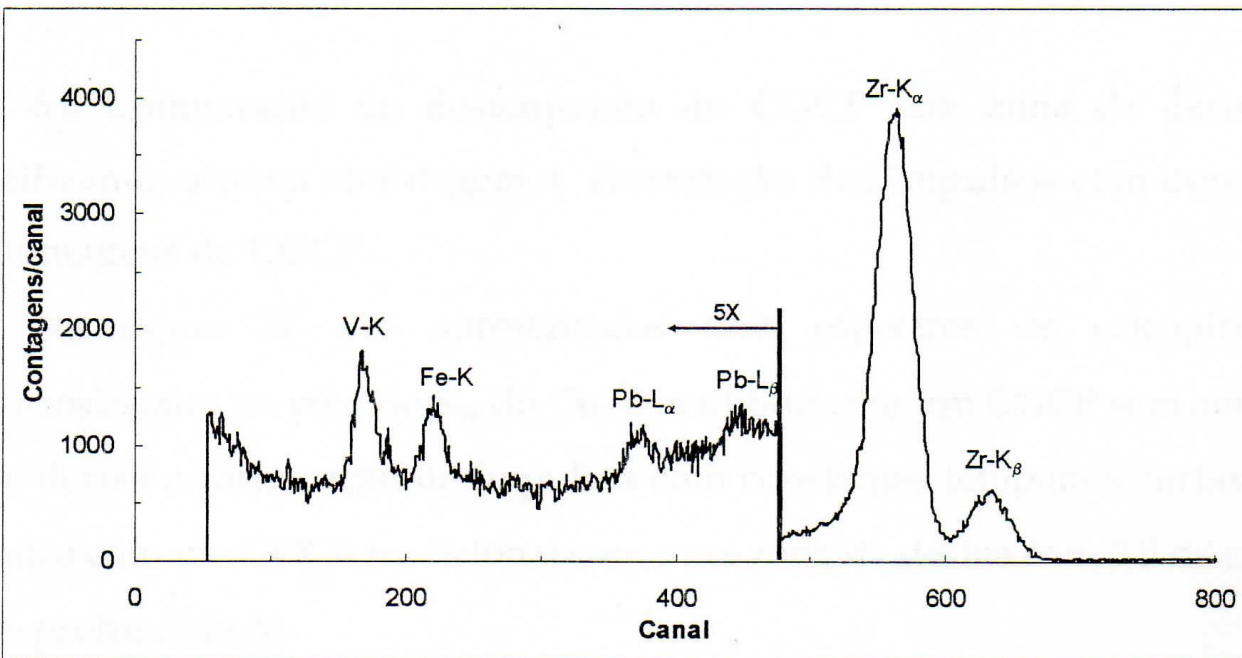


Figura 36: Espectro de fluorescência das *getters* SAES St 707 [25] excitadas com uma fonte de ^{109}Cd

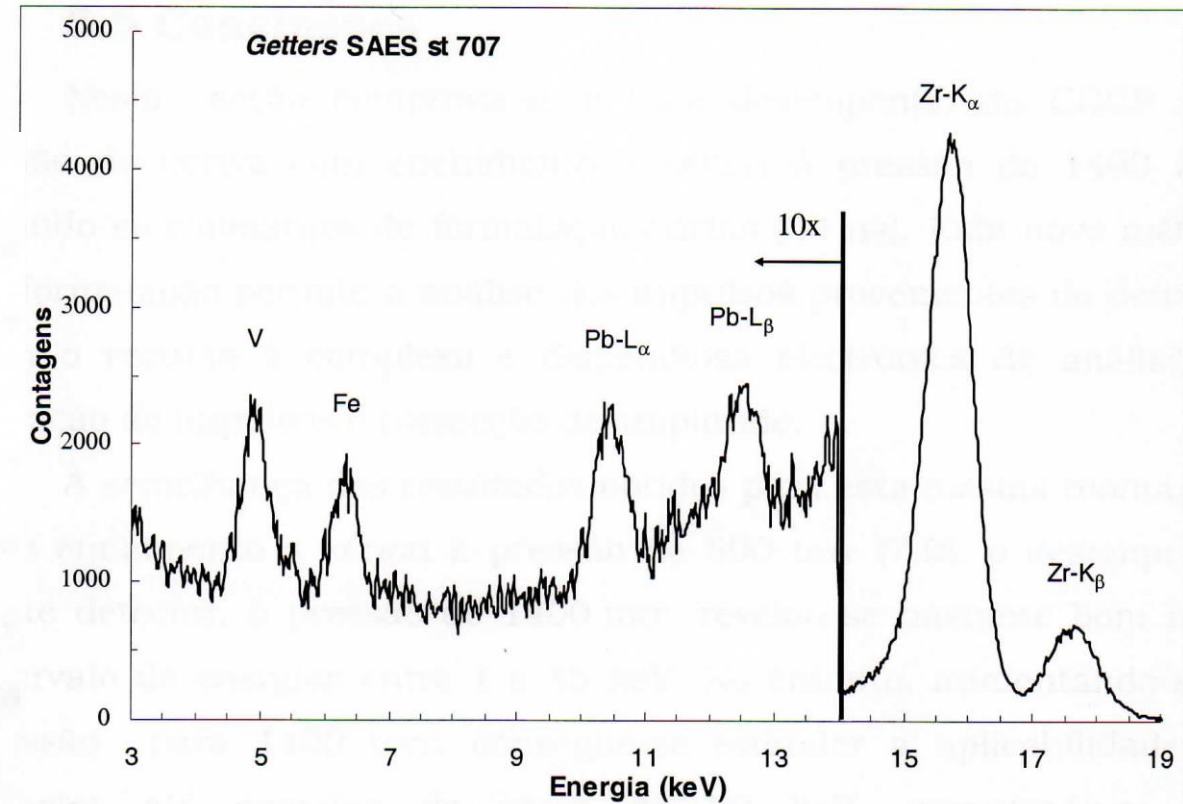


Figura 45: Espectro de fluorescência de Getters SAES St 707 excitadas com uma fonte ^{109}Cd

Excitation x-ray sources

- ^{55}Fe – up to Vanadium (absorption k-edge 5.5 keV)
- ^{109}Cd – up to Ruthenium (absorption k-edge 22.12 keV)
- ^{241}Am – up to Thulium (absorption k-edge 59.4 keV)
- But: all sources can excite L-shell of higher-Z elements)

Mass absorption efficiencies of excited elements

- [Attenuation coefficient/density] - μ/ρ (in cm^2/g)

Element	keV	C	F	Xe
Al	1.5	710	2000	4000
S	2.3	200	600	4000
K	3.3	61	217	800
Ti	4.5	26	88	269
Mn	5.9	11	39	658
Ni	7.5	5.2	28	356
Ge	9.9	2.1	8	169
Si	14.2	0.64	2.6	64
Mo	17.5	0.32	1.3	36
Ag	22.2	0.14	0.61	18.5
Sm	25.3	0.09	0.40	129
Ba	32.2	0.04	0.18	6.6